

М. Д. Недев

О приближенном вычислении свертки^{*}

Научный руководитель: д.т.н. проф. В. М. Хачумов

Аннотация. Работа посвящена реализации и сравнению двух схем приближенного вычисления свертки применительно к дискретным функциям, заданным матрицами в ограниченной области. Для ускорения счета проведен эксперимент с использованием суперкомпьютера семейства «СКИФ».

1. Введение

Свертка — один из важнейших процессов в цифровой обработке сигналов. Она получила широкое распространение в физике, в системах наведения. Поэтому важно уметь эффективно ее вычислять. Прямое вычисление свертки требует $N \times M$ умножений, где N — длина исходного сигнала, а M — длина ядра свертки. Для ее реализации используются различные методы.

Основное назначение быстрых вычислений — обработка в режиме реального времени радиолокационной, телевизионной и тепловизионной информации, выделение и обработка целей. Быстрые вычисления достигаются либо использованием математических преобразований [1], либо с помощью аппаратных и программно-аппаратных средств. Современная вычислительная техника располагает несколькими альтернативными подходами к ускорению вычислений свертки — это использование спецпроцессоров [2], многоядерных, многопроцессорных и кластерных вычислительных устройств (КВУ).

2. Постановка задачи

Математически задача вычисления свертки сводится к расчету двойного интеграла:

$$Z(\delta x, \delta y, k, \gamma) = \int \int_S F_1(x, y) \cdot F_2(x, y) ds$$

^{*}) Представлено по тематике: *Математические основы программирования, Программное обеспечение для суперЭВМ.*

В литературе известны методы быстрого вычисления свертки, когда функции $F_1(x, y)$ и $F_2(x, y)$ представлены, например, в виде полиномов [1]. В нашем же случае речь идет об обработке цифровых изображений, доставленных системами технического зрения. Здесь $F_2(x, y)$ — полутоновое изображение, а $F_1(x, y)$ — преобразующая матрица (маска, фильтр). Пусть $F_1(x, y)$ задана дискретно на равномерной сетке (M_1, M_2) с размером ячейки l . $F_2(x, y)$ также задана дискретно на равномерной сетке (N_1, N_2) с размером ячейки $L = k \cdot l$, смещенной относительно первой сетки по осям X и Y на Δx и Δy соответственно и повернутой на угол γ . Графическое представление задачи показано на рис. 1.

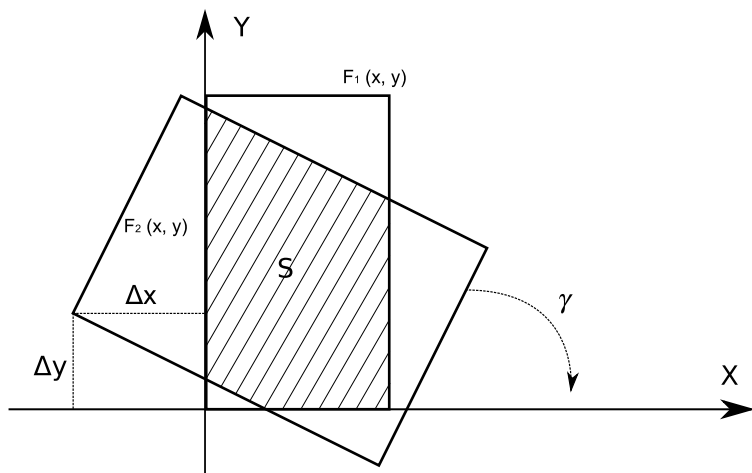


Рис. 1. Графическая интерпретация задачи

3. Методы решения

Рассмотрим два алгоритма вычисления свертки. Они оба работают непосредственно со значениями функций $F_1(x, y)$ и $F_2(x, y)$, не используя переход к частотам (чего можно достигнуть с помощью преобразований Фурье).

3.1. Сеточный алгоритм (СА)

Сеточный алгоритм заключается в прямом перемножении соответствующих значений функций $F_1(x, y)$ и $F_2(x, y)$. Последовательность действий можно описать следующим образом:

- (1) для каждой ячейки x маски, такой, что x принадлежит области S , выясняется, находятся ли под ней ячейки сдвинутой и повернутой области, задающей $F_2(x, y)$;
- (2) если да, то выбирается ближайшая к x ячейка $y \in F_2(x, y)$, их значения перемножаются и произведение добавляется в общую сумму; иначе — происходит переход к следующей ячейке $F_1(x, y)$;
- (3) значением свертки будет являться значение общей суммы, деленной на число слагаемых в ней.

В результате работы алгоритма происходит ровно $M_1 \cdot M_2$ сравнений и не более $M_1 \cdot M_2$ умножений. Алгоритм не имеет регулировок и, согласно предварительным оценкам, работает практически с одной и той же точностью. Время работы алгоритма почти не зависит от того, как много ячеек функции $F_1(x, y)$ имеют хоть одну соответствующую ячейку функции $F_2(x, y)$ (то есть от размера области S , см. рис. 1).

Данные оценки должны быть подтверждены или опровергнуты последующими практическими экспериментами.

Возможна модификация алгоритма (СА-М), заключающаяся в том, что каждая ячейка в маске делится на n частей. Это позволяет достичь большей точности вычислений, так как одной ячейке маски может соответствовать сразу несколько ячеек $F_2(x, y)$. Очевидно, что с ростом n увеличивается точность алгоритма, но также растет и время его работы.

3.2. Метод Монте-Карло (МК)

Альтернативный алгоритм «МК» имеет следующую схему.

- (1) случайным образом выбирается ячейка x , принадлежащая маске, такая, что x принадлежит области S ; выясняется, находятся ли под ней ячейки сдвинутой и повернутой области, задающей $F_2(x, y)$;

- (2) если да, то выбирается ближайшая к ячейке x ячейка $y \in F_2(x, y)$, их значения перемножаются и произведение добавляется в общую сумму; иначе — выбирается другая ячейка $x \in F_1(x, y)$;
- (3) значением свертки будет являться значение общей суммы, деленной на число слагаемых в ней.

Работа алгоритма завершается при накоплении требуемого количества слагаемых m . Введение параметра m дает возможность управления качеством результата: чем больше m , тем больше время работы, но выше точность, и наоборот.

4. Проведение экспериментов

С целью оценки возможного ускорения работы алгоритмов были проведены эксперименты на однопроцессорной ЭВМ и КВУ.

4.1. Вычисления на однопроцессорной ЭВМ

Для экспериментов выбраны следующие данные:

- функция $F_1(x, y)$, заданная матрицей размером 64×128 либо 128×256 ;
- функция $F_2(x, y)$, заданная матрицей размером 2048×2048 ;
- параметры Δx , Δy и γ , которые подбирались таким образом, чтобы обеспечить необходимый размер области S (см. рис. 1);
- истинное значение свертки во всех случаях равно 0.5.

Исследовались следующие закономерности:

- влияние на время работы размера матрицы $F_1(x, y)$ (маски);
- влияние на время работы числа выбранных ячеек в $F_1(x, y)$, но не попавших в S (назовем это «площадью покрытия», C);
- влияние числа итераций на точность вычислений (для метода «МК»).

В каждой таблице приведена графа «Максимальное Отклонение», показывающая, как сильно ошибся каждый алгоритм при расчете свертки. Пусть R и T — соответственно истинное и полученное значения свертки, тогда отклонение вычисляется по формуле: $\frac{R-T}{R} \cdot 100$. Для каждого алгоритма из всех значений выбирается максимальное.

Эксперименты проводились на вычислительной системе с процессором AMD Athlon MP 1800+, управляемой ОС Linux (один процессор фронтенда skif.botik.ru). Замерялось «чистое» время свертки, из него исключалось время на инициализацию матриц.

4.1.1. Сеточные методы

В этом эксперименте в «СА-М» каждая ячейка делилась на две части.

Из таблиц 1 и 2 видно, что время работы линейно зависит от размера маски. Уменьшение «площади покрытия» снижает время работы, так как умножение не производится для ячеек маски, не имеющих соответствующих ячеек $F_2(x, y)$.

Условия	Время (сек)	Ответ
2048×2048, 64×128, C = 100%	0.0044	0.5017
2048×2048, 64×128, C = 50%	0.0036	0.4953
2048×2048, 64×128, C = 25%	0.0033	0.4990
2048×2048, 128×256, C = 100%	0.0172	0.4961
2048×2048, 128×256, C = 50%	0.0160	0.5023
2048×2048, 128×256, C = 25%	0.0147	0.5014
Максимальное Отклонение (%)	0.98	

ТАБЛИЦА 1. Результаты для «СА»

Условия	Время (сек)	Ответ
2048×2048, 64×128, C = 100%	0.0079	0.4997
2048×2048, 64×128, C = 50%	0.0070	0.5002
2048×2048, 64×128, C = 25%	0.0065	0.4998
2048×2048, 128×256, C = 100%	0.0323	0.5000
2048×2048, 128×256, C = 50%	0.0301	0.5001
2048×2048, 128×256, C = 25%	0.0285	0.4999
Максимальное Отклонение (%)	0.06	

ТАБЛИЦА 2. Результаты для «СА-М»

4.1.2. Метод Монте-Карло

Как показано в таблицах 3 и 4, с увеличением числа итераций точность вычислений растет вместе со временем работы. Также видно, что время растет почти линейно с уменьшением «площади покрытия». Влияние размера маски на скорость работы можно считать незначительным или вовсе отсутствующим.

Условия	Число итераций				
		500	5 К	50 К	1 М
2048×2048, 64×128, C = 100%	Время	0.0006	0.0049	0.0471	0.9312
	Ответ	0.4860	0.4926	0.4993	0.5003
2048×2048, 64×128, C = 50%		0.0009	0.0084	0.0784	1.5753
		0.5040	0.4940	0.4999	0.5000
2048×2048, 64×128, C = 25%		0.0016	0.0150	0.1458	2.9018
		0.5080	0.4934	0.4966	0.5001
Макс. Отклон. (%)		2.8	1.48	0.88	0.06

ТАБЛИЦА 3. Результаты для «МК» (1/2)

Условия	Число итераций				
		500	5 К	50 К	1 М
2048×2048, 128×256, C = 100%	Время	0.0007	0.0047	0.0504	0.9682
	Ответ	0.5060	0.4950	0.5029	0.5000
2048×2048, 128×256, C = 50%		0.0010	0.0089	0.0814	1.5973
		0.5260	0.4932	0.4970	0.5011
2048×2048, 128×256, C = 25%		0.0016	0.0155	0.1505	2.9188
		0.4900	0.4920	0.4971	0.5005
Макс. Отклон. (%)		5.2	1.6	0.6	0.22

ТАБЛИЦА 4. Результаты для «МК» (2/2)

4.1.3. Сравнение алгоритмов

Условия, в которых проводилось тестирование:

- функция $F_1(x, y)$, заданная матрицей размером 128×256 ;
- функция $F_2(x, y)$, заданная матрицей размером 2048×2048 ;

- параметры Δx , Δy и γ каждый раз выбирались произвольным образом (в некоторых разумных пределах);
- значения элементов матриц функций $F_1(x, y)$ и $F_2(x, y)$ были подобраны таким образом, чтобы значение свертки равнялось 4.5.

В алгоритме «СА-М» каждая ячейка делилась на две части. У методов «МК» в скобках указано число итераций.

Положение	Статистика				
		СА	СА-М	МК (15 К)	МК (1 М)
I	Время	0.0119	0.0210	0.0131	0.8657
	Ответ	4.3531	4.4512	4.4523	4.4951
II		0.0188	0.0354	0.0145	1.9607
		4.5000	4.4999	4.4826	4.5004
III		0.0166	0.0310	0.0185	1.2000
		4.4698	4.4707	4.4922	4.5030
Макс. Отклон. (%)		3.47	1.08	1.06	0.11

ТАБЛИЦА 5. Сравнение

Заметим, обе схемы «СА-М» и «МК» являются регулируемыми по скорости и точности работы. Однако «МК» отличается большей гибкостью, т.к. допускает более «плавную» настройку.

Рекомендации по выбору схем:

- если требуется высокая скорость, то предпочтение отдается «СА» или «МК» с малым числом итераций;
- если требуется точность, то выбирается «СА-М» с мелким разбиением ячеек, или «МК» с достаточно большим числом итераций.

Компромисс между скоростью и точностью достигается правильным подбором параметров в методах «СА-М» или «МК».

4.2. Вычисление на КВУ

Для реализации последовательных алгоритмов был использован язык C++, поэтому параллельная версия была создана на языке T++, который наилучшим образом подходит для наших целей [3].

4.2.1. Общий подход к распараллеливанию

В случае необходимости подсчета многих сверток, например, с разными значениями параметров Δx и Δy , достаточно эффективным способом достижения параллелизма будет разделение самих процессов свертки между узлами (параллелизм по данным).

График зависимости времени работы от числа процессоров показан на рис. 2. Таблица 6 отражает данные в числовом виде.

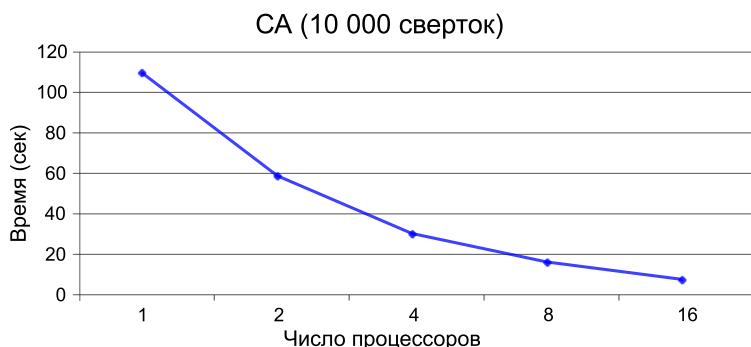


Рис. 2. Параллелизм при общем подходе. Результаты

Число проц. (N)	Время (сек) $t(N)$	Ускорение $c(N) = t(1)/t(N)$	КПД $c(N)/N$
1	109.6954	1	1
2	59.7163	1.836942342	0.918471171
4	31.5985	3.471538206	0.867884551
8	15.8577	6.917484881	0.86468561
16	8.8423	12.40575416	0.775359635

ТАБЛИЦА 6. Подробное представление времени работы

4.2.2. Распараллеливание алгоритма Монте-Карло

Для ускорения вычислений можно использовать параллелизм самого алгоритма «МК», но лишь при некоторых ограничениях. Требуется задание весьма большого числа итераций для обеспечения достаточного «веса» группы параллелизма.

Пусть P — заданное число итераций, Q — число узлов. Тогда описать схему можно так:

- каждому узлу поручается выполнить P/Q итераций, посчитав для них сумму произведений ячеек $F_1(x, y)$ и $F_2(x, y)$;
- значения всех сумм собираются со всех узлов, и высчитывается окончательный результат.

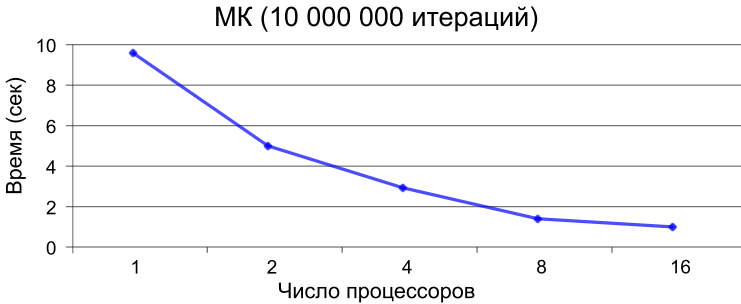


Рис. 3. Параллелизм «МК». Результаты

Число проц. (N)	Время (сек) $t(N)$	Ускорение $c(N) = t(1)/t(N)$	КПД $c(N)/N$
1	9.6165	1	1
2	4.9101	1.958514083	0.979257042
4	2.8641	3.357599246	0.839399811
8	1.5103	6.367278024	0.795909753
16	0.9317	10.3214554	0.645090963

Таблица 7. Подробное представление времени работы

На рис. 3 показана зависимость времени счета от числа узлов. В таблице 7 приведены подробные результаты по времени работы.

5. Заключение

Предложены, реализованы и изучены две схемы приближенного вычисления свертки. Показано, что схема на основе Монте-Карло позволяет регулировать точность и время за счет выбора числа итераций. Использование КВУ позволяет ускорить вычисления, причем

имеет место масштабирование времени с ростом числа процессоров. Результаты данной работы переданы во ФГУП «КБ Машиностроения» (г. Коломна) для проведения дальнейших испытаний на стендах.

Список литературы

- [1] Нуссбаумер Г. Быстрое преобразование Фурье и алгоритмы вычисления сверток. — М.: Радио и связь, 1985. — 248 с.
- [2] Миронов С., Дударев В., Богатов А. *Цифровая обработка радиолокационных сигналов на основе процессора Л1879ВМ1* // ЭЛЕКТРОНИКА: Наука, Технология, Бизнес. — **2003**, № 3, с. 66–72.
- [3] *T-Система* // <http://wiki.botik.ru/OPENTS/>.

М. Д. Nedev. *About Approximate Convolution Calculation* // Proceedings of Program Systems institute scientific-practical conference “Program systems: Theory and applications”, devoted to the 15th anniversary of Pereslavl University named A. K. Ailamazyan. — Pereslavl-Zalesskij, 2008. — p.195–204. — ISBN 978-5-901795-13-2 (*in Russian*).

ABSTRACT. The goal of this paper is to implement and compare two methods for calculating convolution of discrete functions. Author also considers parallel implementations of a given algorithms. Keywords: approximate convolution, parallel algorithm.

Перевод проверен: д.т.н. проф. В. М. Хачумов